

Algoritmos para puntos de Darmon

Xevi Guitart¹ Marc Masdeu²

¹Universitat Politècnica de Catalunya

²Columbia University

Quintas Jornadas de Teoría de Números

- 1 Puntos racionales en curvas elípticas
- 2 Puntos de Heegner
- 3 Puntos de Darmon
- 4 Cálculos explícitos

- 1 Puntos racionales en curvas elípticas
- 2 Puntos de Heegner
- 3 Puntos de Darmon
- 4 Cálculos explícitos

Curvas elípticas sobre \mathbb{Q}

- E curva elíptica con coeficientes racionales

$$E: y^2 + b_1xy + b_3y = x^3 + b_2x^2 + b_4x + b_6, \quad b_i \in \mathbb{Z}$$

Curvas elípticas sobre \mathbb{Q}

- E curva elíptica con coeficientes racionales

$$E: y^2 + b_1xy + b_3y = x^3 + b_2x^2 + b_4x + b_6, \quad b_i \in \mathbb{Z}$$

- $E(\mathbb{Q}) = \{\text{soluciones } (x, y) \in \mathbb{Q}^2\}$

Curvas elípticas sobre \mathbb{Q}

- E curva elíptica con coeficientes racionales

$$E: y^2 + b_1xy + b_3y = x^3 + b_2x^2 + b_4x + b_6, \quad b_i \in \mathbb{Z}$$

- $E(\mathbb{Q}) = \{\text{soluciones } (x, y) \in \mathbb{Q}^2\}$

Problema

Existe algun algoritmo para calcular $E(\mathbb{Q})$?

Curvas elípticas sobre \mathbb{Q}

- E curva elíptica con coeficientes racionales

$$E: y^2 + b_1xy + b_3y = x^3 + b_2x^2 + b_4x + b_6, \quad b_i \in \mathbb{Z}$$

- $E(\mathbb{Q}) = \{\text{soluciones } (x, y) \in \mathbb{Q}^2\}$

Problema

Existe algun algoritmo para calcular $E(\mathbb{Q})$?

Teorema de Mordell–Weil

$E(\mathbb{Q})$ tiene estructura de grupo y $E(\mathbb{Q}) \simeq E(\mathbb{Q})_{\text{tor}} \oplus \mathbb{Z}^r$

Curvas elípticas sobre \mathbb{Q}

- E curva elíptica con coeficientes racionales

$$E: y^2 + b_1xy + b_3y = x^3 + b_2x^2 + b_4x + b_6, \quad b_i \in \mathbb{Z}$$

- $E(\mathbb{Q}) = \{\text{soluciones } (x, y) \in \mathbb{Q}^2\}$

Problema

Existe algun algoritmo para calcular $E(\mathbb{Q})$?

Teorema de Mordell–Weil

$E(\mathbb{Q})$ tiene estructura de grupo y $E(\mathbb{Q}) \simeq E(\mathbb{Q})_{\text{tor}} \oplus \mathbb{Z}^r$

- $E(\mathbb{Q})_{\text{tor}}$: sí que hay algoritmos para calcularlos

Curvas elípticas sobre \mathbb{Q}

- E curva elíptica con coeficientes racionales

$$E: y^2 + b_1xy + b_3y = x^3 + b_2x^2 + b_4x + b_6, \quad b_i \in \mathbb{Z}$$

- $E(\mathbb{Q}) = \{\text{soluciones } (x, y) \in \mathbb{Q}^2\}$

Problema

Existe algun algoritmo para calcular $E(\mathbb{Q})$?

Teorema de Mordell–Weil

$E(\mathbb{Q})$ tiene estructura de grupo y $E(\mathbb{Q}) \simeq E(\mathbb{Q})_{\text{tor}} \oplus \mathbb{Z}^r$

- $E(\mathbb{Q})_{\text{tor}}$: sí que hay algoritmos para calcularlos
- Calcular r puntos de orden infinito independientes?

Curvas elípticas sobre \mathbb{Q}

- E curva elíptica con coeficientes racionales

$$E: y^2 + b_1xy + b_3y = x^3 + b_2x^2 + b_4x + b_6, \quad b_i \in \mathbb{Z}$$

- $E(\mathbb{Q}) = \{\text{soluciones } (x, y) \in \mathbb{Q}^2\}$

Problema

Existe algun algoritmo para calcular $E(\mathbb{Q})$?

Teorema de Mordell–Weil

$E(\mathbb{Q})$ tiene estructura de grupo y $E(\mathbb{Q}) \simeq E(\mathbb{Q})_{\text{tor}} \oplus \mathbb{Z}^r$

- $E(\mathbb{Q})_{\text{tor}}$: sí que hay algoritmos para calcularlos
- Calcular r puntos de orden infinito independientes?
- Calcular el rango r ?

Curvas elípticas sobre \mathbb{Q}

- E curva elíptica con coeficientes racionales

$$E: y^2 + b_1xy + b_3y = x^3 + b_2x^2 + b_4x + b_6, \quad b_i \in \mathbb{Z}$$

- $E(\mathbb{Q}) = \{\text{soluciones } (x, y) \in \mathbb{Q}^2\}$

Problema

Existe algun algoritmo para calcular $E(\mathbb{Q})$?

Teorema de Mordell–Weil

$E(\mathbb{Q})$ tiene estructura de grupo y $E(\mathbb{Q}) \simeq E(\mathbb{Q})_{\text{tor}} \oplus \mathbb{Z}^r$

- $E(\mathbb{Q})_{\text{tor}}$: sí que hay algoritmos para calcularlos
- Calcular r puntos de orden infinito independientes?
- Calcular el rango r ?
 - ▶ Està relacionado con la [Conjetura de Birch y Swinnerton–Dyer](#)

La conjetura de Birch y Swinnerton–Dyer (BSD)



Figura: Birch y Swinnerton–Dyer

La conjetura de Birch y Swinnerton–Dyer (BSD)

Función L de Hasse–Weil

Es una función analítica asociada a E :

$$L(E/\mathbb{Q}, s) = \sum_{n=1}^{\infty} a_n n^{-s}, \quad a_p = p - \#\text{soluciones de } E \pmod{p}$$

La conjetura de Birch y Swinnerton–Dyer (BSD)

Función L de Hasse–Weil

Es una función analítica asociada a E :

$$L(E/\mathbb{Q}, s) = \sum_{n=1}^{\infty} a_n n^{-s}, \quad a_p = p - \#\text{soluciones de } E \pmod{p}$$

Conjetura Birch–Swinnerton-Dyer (1965)

$$r(E/\mathbb{Q}) = \text{ord}_{s=1} L(E/\mathbb{Q}, s) = r_{\text{an}}(E/\mathbb{Q})$$

La conjetura de Birch y Swinnerton–Dyer (BSD)

Función L de Hasse–Weil

Es una función analítica asociada a E :

$$L(E/\mathbb{Q}, s) = \sum_{n=1}^{\infty} a_n n^{-s}, \quad a_p = p - \#\text{soluciones de } E \pmod{p}$$

Conjetura Birch–Swinnerton-Dyer (1965)

$$r(E/\mathbb{Q}) = \text{ord}_{s=1} L(E/\mathbb{Q}, s) = r_{\text{an}}(E/\mathbb{Q})$$

Teorema (Gross–Zagier 1986, Kolyvagin 1989)

Si $\text{ord}_{s=1} L(E/\mathbb{Q}, s) \leq 1$ entonces $r(E/\mathbb{Q}) = \text{ord}_{s=1} L(E/\mathbb{Q}, s)$

La conjetura de Birch y Swinnerton–Dyer (BSD)

Función L de Hasse–Weil

Es una función analítica asociada a E :

$$L(E/\mathbb{Q}, s) = \sum_{n=1}^{\infty} a_n n^{-s}, \quad a_p = p - \#\text{soluciones de } E \pmod{p}$$

Conjetura Birch–Swinnerton-Dyer (1965)

$$r(E/\mathbb{Q}) = \text{ord}_{s=1} L(E/\mathbb{Q}, s) = r_{\text{an}}(E/\mathbb{Q})$$

Teorema (Gross–Zagier 1986, Kolyvagin 1989)

Si $\text{ord}_{s=1} L(E/\mathbb{Q}, s) \leq 1$ entonces $r(E/\mathbb{Q}) = \text{ord}_{s=1} L(E/\mathbb{Q}, s)$

Problema

Si E tiene rango analítico 1, existe algun algoritmo eficiente para calcular un punto de orde infinito?

La conjetura de Birch y Swinnerton–Dyer (BSD)

Función L de Hasse–Weil

Es una función analítica asociada a E :

$$L(E/\mathbb{Q}, s) = \sum_{n=1}^{\infty} a_n n^{-s}, \quad a_p = p - \#\text{soluciones de } E \pmod{p}$$

Conjetura Birch–Swinnerton-Dyer (1965)

$$r(E/\mathbb{Q}) = \text{ord}_{s=1} L(E/\mathbb{Q}, s) = r_{\text{an}}(E/\mathbb{Q})$$

Teorema (Gross–Zagier 1986, Kolyvagin 1989)

Si $\text{ord}_{s=1} L(E/\mathbb{Q}, s) \leq 1$ entonces $r(E/\mathbb{Q}) = \text{ord}_{s=1} L(E/\mathbb{Q}, s)$

Problema

Si E tiene rango analítico 1, existe algun algoritmo eficiente para calcular un punto de orde infinito?

- Respuesta: sí, el método de los puntos de Heegner
 - ▶ ingrediente fundamental del teorema de Gross–Zagier y Kolyvagin

Índex

- 1 Puntos racionales en curvas elípticas
- 2 Puntos de Heegner
- 3 Puntos de Darmon
- 4 Cálculos explícitos

Puntos de Heegner



Figura: Kurt Heegner

Puntos de Heegner

$K = \mathbb{Q}(\sqrt{-D})$ cuerpo cuadrático imaginario ($h(K) = 1$)

Método para construir puntos en $E(K)$

Puntos de Heegner

$K = \mathbb{Q}(\sqrt{-D})$ cuerpo cuadrático imaginario ($h(K) = 1$)

Método para construir puntos en $E(K)$

- Construcción geométrica

Puntos de Heegner

$K = \mathbb{Q}(\sqrt{-D})$ cuerpo cuadrático imaginario ($h(K) = 1$)

Método para construir puntos en $E(K)$

- Construcción geométrica

- ▶ Uniformización modular (Wiles et. al): $X_0(N) \longrightarrow E$

Puntos de Heegner

$K = \mathbb{Q}(\sqrt{-D})$ cuerpo cuadrático imaginario ($h(K) = 1$)

Método para construir puntos en $E(K)$

- Construcción geométrica

- ▶ Uniformización modular (Wiles et. al): $X_0(N) \longrightarrow E$
- ▶ Los puntos $X_0(N)$ parametrizan curvas elípticas

Puntos de Heegner

$K = \mathbb{Q}(\sqrt{-D})$ cuerpo cuadrático imaginario ($h(K) = 1$)

Método para construir puntos en $E(K)$

- Construcción geométrica

- ▶ Uniformización modular (Wiles et. al): $X_0(N) \longrightarrow E$
- ▶ Los puntos $X_0(N)$ parametrizan curvas elípticas
- ▶ Puntos CM en $X_0(N)$ (corresponden a curvas con CM por K)

Puntos de Heegner

$K = \mathbb{Q}(\sqrt{-D})$ cuerpo cuadrático imaginario ($h(K) = 1$)

Método para construir puntos en $E(K)$

- Construcción geométrica

- ▶ Uniformización modular (Wiles et. al): $X_0(N) \longrightarrow E$
- ▶ Los puntos $X_0(N)$ parametrizan curvas elípticas
- ▶ Puntos CM en $X_0(N)$ (corresponden a curvas con CM por K)
- ▶ Teoría de la multiplicación compleja: los puntos CM $\in X_0(N)(K)$

Puntos de Heegner

$K = \mathbb{Q}(\sqrt{-D})$ cuerpo cuadrático imaginario ($h(K) = 1$)

Método para construir puntos en $E(K)$

- Construcción geométrica

- ▶ Uniformización modular (Wiles et. al): $X_0(N) \longrightarrow E$
- ▶ Los puntos $X_0(N)$ parametrizan curvas elípticas
- ▶ Puntos CM en $X_0(N)$ (corresponden a curvas con CM por K)
- ▶ Teoría de la multiplicación compleja: los puntos CM $\in X_0(N)(K)$
- ▶ Su imagen en E son los puntos de Heegner

Puntos de Heegner

$K = \mathbb{Q}(\sqrt{-D})$ cuerpo cuadrático imaginario ($h(K) = 1$)

Método para construir puntos en $E(K)$

- Construcción geométrica

- ▶ Uniformización modular (Wiles et. al): $X_0(N) \longrightarrow E$
- ▶ Los puntos $X_0(N)$ parametrizan curvas elípticas
- ▶ Puntos CM en $X_0(N)$ (corresponden a curvas con CM por K)
- ▶ Teoría de la multiplicación compleja: los puntos CM $\in X_0(N)(K)$
- ▶ Su imagen en E son los puntos de Heegner

- Fórmula explícita

Puntos de Heegner

$K = \mathbb{Q}(\sqrt{-D})$ cuerpo cuadrático imaginario ($h(K) = 1$)

Método para construir puntos en $E(K)$

- Construcción geométrica

- ▶ Uniformización modular (Wiles et. al): $X_0(N) \rightarrow E$
- ▶ Los puntos $X_0(N)$ parametrizan curvas elípticas
- ▶ Puntos CM en $X_0(N)$ (corresponden a curvas con CM por K)
- ▶ Teoría de la multiplicación compleja: los puntos CM $\in X_0(N)(K)$
- ▶ Su imagen en E son los puntos de Heegner

- Fórmula explícita

- ▶ $X_0(N)(\mathbb{C}) = \Gamma_0(N) \backslash \mathcal{H} \rightarrow E(\mathbb{C}) \simeq \mathbb{C}/\Lambda_E$

Puntos de Heegner

$K = \mathbb{Q}(\sqrt{-D})$ cuerpo cuadrático imaginario ($h(K) = 1$)

Método para construir puntos en $E(K)$

- Construcción geométrica

- ▶ Uniformización modular (Wiles et. al): $X_0(N) \rightarrow E$
- ▶ Los puntos $X_0(N)$ parametrizan curvas elípticas
- ▶ Puntos CM en $X_0(N)$ (corresponden a curvas con CM por K)
- ▶ Teoría de la multiplicación compleja: los puntos CM $\in X_0(N)(K)$
- ▶ Su imagen en E son los puntos de Heegner

- Fórmula explícita

- ▶ $X_0(N)(\mathbb{C}) = \Gamma_0(N) \backslash \mathcal{H} \rightarrow E(\mathbb{C}) \simeq \mathbb{C}/\Lambda_E$
- ▶ Puntos CM: $\tau \in \mathcal{H} \cap K$

Puntos de Heegner

$K = \mathbb{Q}(\sqrt{-D})$ cuerpo cuadrático imaginario ($h(K) = 1$)

Método para construir puntos en $E(K)$

- Construcción geométrica

- ▶ Uniformización modular (Wiles et. al): $X_0(N) \rightarrow E$
- ▶ Los puntos $X_0(N)$ parametrizan curvas elípticas
- ▶ Puntos CM en $X_0(N)$ (corresponden a curvas con CM por K)
- ▶ Teoría de la multiplicación compleja: los puntos CM $\in X_0(N)(K)$
- ▶ Su imagen en E son los puntos de Heegner

- Fórmula explícita

- ▶ $X_0(N)(\mathbb{C}) = \Gamma_0(N) \backslash \mathcal{H} \rightarrow E(\mathbb{C}) \simeq \mathbb{C}/\Lambda_E$
- ▶ Puntos CM: $\tau \in \mathcal{H} \cap K$
- ▶ $f(z) = \sum_{n \geq 1} a_n e^{2\pi i n z} \rightsquigarrow f(z) dz$ diferencial en $\Gamma_0(N) \backslash \mathcal{H}$

Puntos de Heegner

$K = \mathbb{Q}(\sqrt{-D})$ cuerpo cuadrático imaginario ($h(K) = 1$)

Método para construir puntos en $E(K)$

- Construcción geométrica

- ▶ Uniformización modular (Wiles et. al): $X_0(N) \rightarrow E$
- ▶ Los puntos $X_0(N)$ parametrizan curvas elípticas
- ▶ Puntos CM en $X_0(N)$ (corresponden a curvas con CM por K)
- ▶ Teoría de la multiplicación compleja: los puntos CM $\in X_0(N)(K)$
- ▶ Su imagen en E son los puntos de Heegner

- Fórmula explícita

- ▶ $X_0(N)(\mathbb{C}) = \Gamma_0(N) \backslash \mathcal{H} \rightarrow E(\mathbb{C}) \simeq \mathbb{C}/\Lambda_E$
- ▶ Puntos CM: $\tau \in \mathcal{H} \cap K$
- ▶ $f(z) = \sum_{n \geq 1} a_n e^{2\pi i n z} \rightsquigarrow f(z) dz$ diferencial en $\Gamma_0(N) \backslash \mathcal{H}$

Punto de Heegner

$$J_\tau = \int_\tau^\infty 2\pi i f(z) dz \in \mathbb{C}/\Lambda_f$$

Puntos de Heegner

$K = \mathbb{Q}(\sqrt{-D})$ cuerpo cuadrático imaginario ($h(K) = 1$)

Método para construir puntos en $E(K)$

- Construcción geométrica

- ▶ Uniformización modular (Wiles et. al): $X_0(N) \rightarrow E$
- ▶ Los puntos $X_0(N)$ parametrizan curvas elípticas
- ▶ Puntos CM en $X_0(N)$ (corresponden a curvas con CM por K)
- ▶ Teoría de la multiplicación compleja: los puntos CM $\in X_0(N)(K)$
- ▶ Su imagen en E son los puntos de Heegner

- Fórmula explícita

- ▶ $X_0(N)(\mathbb{C}) = \Gamma_0(N) \backslash \mathcal{H} \rightarrow E(\mathbb{C}) \simeq \mathbb{C}/\Lambda_E$
- ▶ Puntos CM: $\tau \in \mathcal{H} \cap K$
- ▶ $f(z) = \sum_{n \geq 1} a_n e^{2\pi i n z} \rightsquigarrow f(z) dz$ diferencial en $\Gamma_0(N) \backslash \mathcal{H}$

Punto de Heegner

$$J_\tau = \int_\tau^\infty 2\pi i f(z) dz \in \mathbb{C}/\Lambda_f \simeq \mathbb{C}/\Lambda_E$$

Puntos de Heegner

$K = \mathbb{Q}(\sqrt{-D})$ cuerpo cuadrático imaginario ($h(K) = 1$)

Método para construir puntos en $E(K)$

- Construcción geométrica

- ▶ Uniformización modular (Wiles et. al): $X_0(N) \rightarrow E$
- ▶ Los puntos $X_0(N)$ parametrizan curvas elípticas
- ▶ Puntos CM en $X_0(N)$ (corresponden a curvas con CM por K)
- ▶ Teoría de la multiplicación compleja: los puntos CM $\in X_0(N)(K)$
- ▶ Su imagen en E son los puntos de Heegner

- Fórmula explícita

- ▶ $X_0(N)(\mathbb{C}) = \Gamma_0(N) \backslash \mathcal{H} \rightarrow E(\mathbb{C}) \simeq \mathbb{C}/\Lambda_E$
- ▶ Puntos CM: $\tau \in \mathcal{H} \cap K$
- ▶ $f(z) = \sum_{n \geq 1} a_n e^{2\pi i n z} \rightsquigarrow f(z) dz$ diferencial en $\Gamma_0(N) \backslash \mathcal{H}$

Punto de Heegner

$$J_\tau = \int_\tau^\infty 2\pi i f(z) dz \in \mathbb{C}/\Lambda_f \simeq \mathbb{C}/\Lambda_E \rightsquigarrow J_\tau \in E(K)$$

Un ejemplo extremo (M. Watkins)

$$y^2 + y = x^3 - 5115523309x - 140826120488927 \quad (N = 66157667)$$

Un ejemplo extremo (M. Watkins)

$$y^2 + y = x^3 - 5115523309x - 140826120488927 \quad (N = 66157667)$$

el numerador de la coordenada x del punto es:

Un ejemplo extremo (M. Watkins)

$$y^2 + y = x^3 - 5115523309x - 140826120488927 \quad (N = 66157667)$$

el numerador de la coordenada x del punto es:

12

MARK WATKINS

600 million terms of the L -series. This takes less than a day. We list the x -coordinate of the point on the original elliptic curve. It has numerator

Una pregunta natural: y si K es cuadrático real?

Una pregunta natural: y si K es cuadrático real?

Problema

- E/\mathbb{Q} curva elíptica
- Si K es un cuadrático **real** tal que $\text{ord}_{s=1} L(E/K, s) = 1$
 - ▶ algoritmo para calcular puntos de orden infinito en $E(K)$?

Una pregunta natural: y si K es cuadrático real?

Problema

- E/\mathbb{Q} curva elíptica
- Si K es un cuadrático **real** tal que $\text{ord}_{s=1} L(E/K, s) = 1$
 - ▶ algoritmo para calcular puntos de orden infinito en $E(K)$?
- Idea: buscar un análogo del método de puntos de Heegner



Una pregunta natural: y si K es cuadrático real?

Problema

- E/\mathbb{Q} curva elíptica
- Si K es un cuadrático **real** tal que $\text{ord}_{s=1} L(E/K, s) = 1$
 - ▶ algoritmo para calcular puntos de orden infinito en $E(K)$?
- Idea: buscar un análogo del método de puntos de Heegner
- Puntos de Darmon



Una pregunta natural: y si K es cuadrático real?

Problema

- E/\mathbb{Q} curva elíptica
- Si K es un cuadrático **real** tal que $\text{ord}_{s=1} L(E/K, s) = 1$
 - ▶ algoritmo para calcular puntos de orden infinito en $E(K)$?
- Idea: buscar un análogo del método de puntos de Heegner
- Puntos de Darmon (a.k.a. Puntos de Stark–Heegner)



Puntos de Heegner

K cuerpo cuadrático imaginario

Método para construir puntos de orden infinito en $E(K)$

- Construcción geométrica (demuestra algebraicidad)
 - ▶ Uniformización modular $X_0(N) \longrightarrow E$
 - ▶ Teoría de la multiplicación compleja
- Fórmula explícita (sirve para calcularlos)
 - ▶ $J_\tau = \int_{\tau}^{\infty} 2\pi i f(z) dz \in \mathbb{C}/\Lambda = E(\mathbb{C})$

Puntos de Heegner–Darmon

K cuerpo cuadrático imaginario

Método para construir puntos de orden infinito en $E(K)$

- Construcción geométrica (demuestra algebraicidad)
 - ▶ Uniformización modular $X_0(N) \longrightarrow E$
 - ▶ Teoría de la multiplicación compleja
- Fórmula explícita (sirve para calcularlos)
 - ▶ $J_\tau = \int_{\tau}^{\infty} 2\pi i f(z) dz \in \mathbb{C}/\Lambda = E(\mathbb{C})$

Puntos de Heegner–Darmon

K cuerpo cuadrático ~~imaginario~~ real

Método para construir puntos de orden infinito en $E(K)$

- Construcción geométrica (demuestra algebraicidad)
 - ▶ Uniformización modular $X_0(N) \rightarrow E$
 - ▶ Teoría de la multiplicación compleja
- Fórmula explícita (sirve para calcularlos)
 - ▶ $J_\tau = \int_{\tau}^{\infty} 2\pi i f(z) dz \in \mathbb{C}/\Lambda = E(\mathbb{C})$

Puntos de Heegner–Darmon

K cuerpo cuadrático ~~imaginario~~ real

Método para construir puntos de orden infinito en $E(K)$

- Construcción geométrica (demuestra algebraicidad)
 - ▶ Uniformización modular $X_0(N) \rightarrow E$
 - ▶ Teoría de la multiplicación ~~compleja~~ real
- Fórmula explícita (sirve para calcularlos)
 - ▶ $J_\tau = \int_{\tau}^{\infty} 2\pi i f(z) dz \in \mathbb{C}/\Lambda = E(\mathbb{C})$

Puntos de Heegner–Darmon

K cuerpo cuadrático ~~imaginario~~ real

Método para construir puntos de orden infinito en $E(K)$

- Construcción geométrica (demuestra algebraicidad)
 - ▶ Uniformización modular $X_0(N) \rightarrow E$
 - ▶ Teoría de la multiplicación ~~compleja~~ real \rightsquigarrow No existe!
- Fórmula explícita (sirve para calcularlos)
 - ▶ $J_\tau = \int_{\tau}^{\infty} 2\pi i f(z) dz \in \mathbb{C}/\Lambda = E(\mathbb{C})$

Puntos de Heegner–Darmon

K cuerpo cuadrático ~~imaginario~~ real

Método para construir puntos de orden infinito en $E(K)$

- ~~Construcción geométrica (demuestra algebraicidad)~~
 - ▶ Uniformización modular $X_0(N) \rightarrow E$
 - ▶ Teoría de la multiplicación ~~compleja~~ real \rightsquigarrow **No existe!**
- Fórmula explícita (sirve para calcularlos)
 - ▶ $J_\tau = \int_{\tau}^{\infty} 2\pi i f(z) dz \in \mathbb{C}/\Lambda = E(\mathbb{C})$

Puntos de Heegner–Darmon

K cuerpo cuadrático ~~imaginario~~ real

Método para construir puntos de orden infinito en $E(K)$

- ~~Construcción geométrica (demuestra algebraicidad)~~
 - ▶ Uniformización modular $X_0(N) \rightarrow E$
 - ▶ Teoría de la multiplicación compleja real \rightsquigarrow **No existe!**
- **Fórmula explícita (sirve para calcularlos)**
 - ▶ $J_\tau = \int_{\tau}^{\infty} 2\pi i f(z) dz \in \mathbb{C}/\Lambda = E(\mathbb{C})$

Puntos de Heegner–Darmon

K cuerpo cuadrático ~~imaginario~~ real

Método para construir puntos de orden infinito en $E(K)$

- ~~Construcción geométrica (demuestra algebraicidad)~~
 - ▶ Uniformización modular $X_0(N) \rightarrow E$
 - ▶ Teoría de la multiplicación compleja–real \rightsquigarrow **No existe!**
- **Fórmula explícita (sirve para calcularlos)**
 - ▶ $J_\tau = \int_{\tau}^{\infty} 2\pi i f(z) dz \in \mathbb{C}/\Lambda = E(\mathbb{C})$
 - ▶ Ingredientes

$$\left. \begin{array}{l} E \rightsquigarrow \omega_E \text{ 1-forma} \\ \tau \in K \cap \mathcal{H} \rightsquigarrow \Delta_\tau \text{ 1-cadena} \end{array} \right\} \longrightarrow J_\tau = \int_{\Delta_\tau} \omega_E \in \mathbb{C}/\Lambda_E$$

Puntos de Heegner–Darmon

K cuerpo cuadrático ~~imaginario~~ real

Método para construir puntos de orden infinito en $E(K)$

- ~~Construcción geométrica (demuestra algebraicidad)~~
 - ▶ Uniformización modular $X_0(N) \rightarrow E$
 - ▶ Teoría de la multiplicación compleja → real \rightsquigarrow No existe!
- **Fórmula explícita (sirve para calcularlos)**
 - ▶ $J_\tau = \int_{\tau}^{\infty} 2\pi i f(z) dz \in \mathbb{C}/\Lambda = E(\mathbb{C})$
 - ▶ Ingredientes

$$\left. \begin{array}{l} E \rightsquigarrow \omega_E \text{ 1-forma} \\ \tau \in K \cap \mathcal{H} \rightsquigarrow \Delta_\tau \text{ 1-cadena} \end{array} \right\} \longrightarrow J_\tau = \int_{\Delta_\tau} \omega_E \in \mathbb{C}/\Lambda_E$$

- ▶ Filosofía: Buscar análogos de ω_E y Δ_τ

Puntos de Heegner–Darmon

K cuerpo cuadrático ~~imaginario~~ real

Método para construir puntos de orden infinito en $E(K)$

- ~~Construcción geométrica (demuestra algebraicidad)~~
 - ▶ Uniformización modular $X_0(N) \rightarrow E$
 - ▶ Teoría de la multiplicación compleja → real \rightsquigarrow No existe!
- **Fórmula explícita (sirve para calcularlos)**
 - ▶ $J_\tau = \int_{\tau}^{\infty} 2\pi i f(z) dz \in \mathbb{C}/\Lambda = E(\mathbb{C})$
 - ▶ Ingredientes

$$\left. \begin{array}{l} E \rightsquigarrow \omega_E \text{ 1-forma} \\ \tau \in K \cap \mathcal{H} \rightsquigarrow \Delta_\tau \text{ 1-cadena} \end{array} \right\} \longrightarrow J_\tau = \int_{\Delta_\tau} \omega_E \in \mathbb{C}/\Lambda_E$$

- ▶ Filosofía: Buscar análogos de ω_E y Δ_τ
- **Obstrucción:** K real $\Rightarrow K \cap \mathcal{H} = \emptyset!$

Índex

- 1 Puntos racionales en curvas elípticas
- 2 Puntos de Heegner
- 3 Puntos de Darmon
- 4 Cálculos explícitos

Puntos de Darmon

- Idea: sustituir \mathcal{H} por \mathcal{H}_p (el semiplano p -adico)

Puntos de Darmon

- Idea: sustituir \mathcal{H} por \mathcal{H}_p (el semiplano p -adico)
 - ▶ $\mathbb{C}_p = \widehat{\mathbb{Q}_p}$ (análogo de \mathbb{C})

Puntos de Darmon

- Idea: sustituir \mathcal{H} por \mathcal{H}_p (el semiplano p -adico)
 - ▶ $\mathbb{C}_p = \widehat{\overline{\mathbb{Q}_p}}$ (análogo de \mathbb{C})
 - ▶ $\mathcal{H}_p = \mathbb{C}_p \setminus \mathbb{Q}_p$ (análogo de $\mathbb{C} \setminus \mathbb{R} = \mathcal{H}^\pm$)

Puntos de Darmon

- Idea: sustituir \mathcal{H} por \mathcal{H}_p (el semiplano p -adico)

- ▶ $\mathbb{C}_p = \widehat{\overline{\mathbb{Q}_p}}$ (análogo de \mathbb{C})
- ▶ $\mathcal{H}_p = \mathbb{C}_p \setminus \mathbb{Q}_p$ (análogo de $\mathbb{C} \setminus \mathbb{R} = \mathcal{H}^\pm$)
- ▶ p es inerte en $K \Rightarrow K \cap \mathcal{H}_p \neq \emptyset$

Puntos de Darmon

- Idea: sustituir \mathcal{H} por \mathcal{H}_p (el semiplano p -adico)

- $\mathbb{C}_p = \widehat{\overline{\mathbb{Q}_p}}$ (análogo de \mathbb{C})
- $\mathcal{H}_p = \mathbb{C}_p \setminus \mathbb{Q}_p$ (análogo de $\mathbb{C} \setminus \mathbb{R} = \mathcal{H}^\pm$)
- p es inerte en $K \Rightarrow K \cap \mathcal{H}_p \neq \emptyset$
- $\Omega_{\mathcal{H}_p}^1$ = diferenciales rígidas analíticas en \mathcal{H}_p

Puntos de Darmon

- Idea: sustituir \mathcal{H} por \mathcal{H}_p (el semiplano p -adico)
 - ▶ $\mathbb{C}_p = \widehat{\overline{\mathbb{Q}_p}}$ (análogo de \mathbb{C})
 - ▶ $\mathcal{H}_p = \mathbb{C}_p \setminus \mathbb{Q}_p$ (análogo de $\mathbb{C} \setminus \mathbb{R} = \mathcal{H}^\pm$)
 - ▶ p es inerte en $K \Rightarrow K \cap \mathcal{H}_p \neq \emptyset$
 - ▶ $\Omega_{\mathcal{H}_p}^1$ = diferenciales rígidas analíticas en \mathcal{H}_p
 - ▶ Integral de Coleman (análogo de la integral de línea)

$$\omega \in \Omega_{\mathcal{H}_p}, \tau_1, \tau_2 \in \mathcal{H}_p, \rightsquigarrow \int_{\tau_1}^{\tau_2} \omega \in \mathbb{C}_p$$

Puntos de Darmon

- Idea: sustituir \mathcal{H} por \mathcal{H}_p (el semiplano p -adico)
 - ▶ $\mathbb{C}_p = \widehat{\overline{\mathbb{Q}_p}}$ (análogo de \mathbb{C})
 - ▶ $\mathcal{H}_p = \mathbb{C}_p \setminus \mathbb{Q}_p$ (análogo de $\mathbb{C} \setminus \mathbb{R} = \mathcal{H}^\pm$)
 - ▶ p es inerte en $K \Rightarrow K \cap \mathcal{H}_p \neq \emptyset$
 - ▶ $\Omega_{\mathcal{H}_p}^1$ = diferenciales rígidas analíticas en \mathcal{H}_p
 - ▶ Integral de Coleman (análogo de la integral de línea)

$$\omega \in \Omega_{\mathcal{H}_p}, \tau_1, \tau_2 \in \mathcal{H}_p, \rightsquigarrow \int_{\tau_1}^{\tau_2} \omega \in \mathbb{C}_p$$

- Descripción local de E :
 - ▶ Si $p \mid N$: uniformización de Tate

$$E(\mathbb{C}_p) \simeq \mathbb{C}_p^\times / \langle q_E \rangle$$

Puntos de Darmon

- Idea: sustituir \mathcal{H} por \mathcal{H}_p (el semiplano p -adico)
 - $\mathbb{C}_p = \widehat{\overline{\mathbb{Q}_p}}$ (análogo de \mathbb{C})
 - $\mathcal{H}_p = \mathbb{C}_p \setminus \mathbb{Q}_p$ (análogo de $\mathbb{C} \setminus \mathbb{R} = \mathcal{H}^\pm$)
 - p es inerte en $K \Rightarrow K \cap \mathcal{H}_p \neq \emptyset$
 - $\Omega_{\mathcal{H}_p}^1$ = diferenciales rígidas analíticas en \mathcal{H}_p
 - Integral de Coleman (análogo de la integral de línea)
- $\omega \in \Omega_{\mathcal{H}_p}, \tau_1, \tau_2 \in \mathcal{H}_p, \rightsquigarrow \int_{\tau_1}^{\tau_2} \omega \in \mathbb{C}_p$
- Integral de Coleman multiplicativa: si ω tiene residuos en \mathbb{Z}
$$\oint_{\tau_1}^{\tau_2} \omega \in \mathbb{C}_p^\times$$
- Descripción local de E :
 - Si $p \mid N$: uniformización de Tate

$$E(\mathbb{C}_p) \simeq \mathbb{C}_p^\times / \langle q_E \rangle$$

Puntos de Darmon, à la Greenberg

Puntos de Darmon, à la Greenberg

- E/\mathbb{Q} curva de conductor $\square \nmid N$. Supongamos que $N = pMD$
 - ▶ D es producto de un número par de primos inertes en K
 - ▶ M es producto de primos que descomponen o ramifican en K
 - ▶ (siempre se cumple si $\text{ord}_{s=1} L(E/K, 1) = 1$)

Puntos de Darmon, à la Greenberg

- E/\mathbb{Q} curva de conductor $\square \nmid N$. Supongamos que $N = pMD$
 - ▶ D es producto de un número par de primos inertes en K
 - ▶ M es producto de primos que descomponen o ramifican en K
 - ▶ (siempre se cumple si $\text{ord}_{s=1} L(E/K, 1) = 1$)
- B/\mathbb{Q} álgebra de cuaterniones discriminante D ($= M_2(\mathbb{Q})$ si $D = 1$)
- B actúa en \mathcal{H}_p vía $B \otimes \mathbb{Q}_p \simeq M_2(\mathbb{Q}_p)$
- $\Gamma \subset B^\times$ subgrupo de congruencia de nivel M

Puntos de Darmon, à la Greenberg

- E/\mathbb{Q} curva de conductor $\square \nmid N$. Supongamos que $N = pMD$
 - ▶ D es producto de un número par de primos inertes en K
 - ▶ M es producto de primos que descomponen o ramifican en K
 - ▶ (siempre se cumple si $\text{ord}_{s=1} L(E/K, 1) = 1$)
- B/\mathbb{Q} álgebra de cuaterniones discriminante D ($= M_2(\mathbb{Q})$ si $D = 1$)
- B actúa en \mathcal{H}_p vía $B \otimes \mathbb{Q}_p \simeq M_2(\mathbb{Q}_p)$
- $\Gamma \subset B^\times$ subgrupo de congruencia de nivel M

Construcción (Darmon $D = 1$ (2001), Greenberg $D > 1$ (2011))

$$\left. \begin{array}{l} E \rightsquigarrow \omega_E \in H^1(\Gamma, \Omega_{\mathcal{H}_p}^1) \\ \tau \in K \cap \mathcal{H}_p \rightsquigarrow \Delta_\tau \in C_1(\Gamma, \text{Div}^0 \mathcal{H}_p) \end{array} \right\}$$

Puntos de Darmon, à la Greenberg

- E/\mathbb{Q} curva de conductor $\square \nmid N$. Supongamos que $N = pMD$
 - ▶ D es producto de un número par de primos inertes en K
 - ▶ M es producto de primos que descomponen o ramifican en K
 - ▶ (siempre se cumple si $\text{ord}_{s=1} L(E/K, 1) = 1$)
- B/\mathbb{Q} álgebra de cuaterniones discriminante D ($= M_2(\mathbb{Q})$ si $D = 1$)
- B actúa en \mathcal{H}_p vía $B \otimes \mathbb{Q}_p \simeq M_2(\mathbb{Q}_p)$
- $\Gamma \subset B^\times$ subgrupo de congruencia de nivel M

Construcción (Darmon $D = 1$ (2001), Greenberg $D > 1$ (2011))

$$\left. \begin{array}{l} E \rightsquigarrow \omega_E \in H^1(\Gamma, \Omega_{\mathcal{H}_p}^1) \\ \tau \in K \cap \mathcal{H}_p \rightsquigarrow \Delta_\tau \in C_1(\Gamma, \text{Div}^0 \mathcal{H}_p) \end{array} \right\} \rightarrow J_\tau = \int_{\Delta_\tau} \omega_E \in \mathbb{C}_p^\times / \langle q \rangle$$

Puntos de Darmon, à la Greenberg

- E/\mathbb{Q} curva de conductor $\square \nmid N$. Supongamos que $N = pMD$
 - ▶ D es producto de un número par de primos inertes en K
 - ▶ M es producto de primos que descomponen o ramifican en K
 - ▶ (siempre se cumple si $\text{ord}_{s=1} L(E/K, 1) = 1$)
- B/\mathbb{Q} álgebra de cuaterniones discriminante D ($= M_2(\mathbb{Q})$ si $D = 1$)
- B actúa en \mathcal{H}_p vía $B \otimes \mathbb{Q}_p \simeq M_2(\mathbb{Q}_p)$
- $\Gamma \subset B^\times$ subgrupo de congruencia de nivel M

Construcción (Darmon $D = 1$ (2001), Greenberg $D > 1$ (2011))

$$\left. \begin{array}{l} E \rightsquigarrow \omega_E \in H^1(\Gamma, \Omega_{\mathcal{H}_p}^1) \\ \tau \in K \cap \mathcal{H}_p \rightsquigarrow \Delta_\tau \in C_1(\Gamma, \text{Div}^0 \mathcal{H}_p) \end{array} \right\} \rightarrow J_\tau = \int_{\Delta_\tau} \omega_E \in \mathbb{C}_p^\times / \langle q \rangle$$

- $\mathbb{C}_p^\times / \langle q \rangle \simeq \mathbb{C}_p^\times / \langle q_E \rangle$ (Greenberg–Dasgupta, Longo–Rotger–Vigni)

Puntos de Darmon, à la Greenberg

- E/\mathbb{Q} curva de conductor $\square \nmid N$. Supongamos que $N = pMD$
 - ▶ D es producto de un número par de primos inertes en K
 - ▶ M es producto de primos que descomponen o ramifican en K
 - ▶ (siempre se cumple si $\text{ord}_{s=1} L(E/K, 1) = 1$)
- B/\mathbb{Q} álgebra de cuaterniones discriminante D ($= M_2(\mathbb{Q})$ si $D = 1$)
- B actúa en \mathcal{H}_p vía $B \otimes \mathbb{Q}_p \simeq M_2(\mathbb{Q}_p)$
- $\Gamma \subset B^\times$ subgrupo de congruencia de nivel M

Construcción (Darmon $D = 1$ (2001), Greenberg $D > 1$ (2011))

$$\left. \begin{array}{l} E \rightsquigarrow \omega_E \in H^1(\Gamma, \Omega_{\mathcal{H}_p}^1) \\ \tau \in K \cap \mathcal{H}_p \rightsquigarrow \Delta_\tau \in C_1(\Gamma, \text{Div}^0 \mathcal{H}_p) \end{array} \right\} \rightarrow J_\tau = \int_{\Delta_\tau} \omega_E \in \mathbb{C}_p^\times / \langle q \rangle \simeq E(\mathbb{C}_p)$$

- $\mathbb{C}_p^\times / \langle q \rangle \simeq \mathbb{C}_p^\times / \langle q_E \rangle$ (Greenberg–Dasgupta, Longo–Rotger–Vigni)

Puntos de Darmon, à la Greenberg

- E/\mathbb{Q} curva de conductor $\square \nmid N$. Supongamos que $N = pMD$
 - ▶ D es producto de un número par de primos inertes en K
 - ▶ M es producto de primos que descomponen o ramifican en K
 - ▶ (siempre se cumple si $\text{ord}_{s=1} L(E/K, 1) = 1$)
- B/\mathbb{Q} álgebra de cuaterniones discriminante D ($= M_2(\mathbb{Q})$ si $D = 1$)
- B actúa en \mathcal{H}_p vía $B \otimes \mathbb{Q}_p \simeq M_2(\mathbb{Q}_p)$
- $\Gamma \subset B^\times$ subgrupo de congruencia de nivel M

Construcción (Darmon $D = 1$ (2001), Greenberg $D > 1$ (2011))

$$\left. \begin{array}{l} E \rightsquigarrow \omega_E \in H^1(\Gamma, \Omega_{\mathcal{H}_p}^1) \\ \tau \in K \cap \mathcal{H}_p \rightsquigarrow \Delta_\tau \in C_1(\Gamma, \text{Div}^0 \mathcal{H}_p) \end{array} \right\} \rightarrow J_\tau = \int_{\Delta_\tau} \omega_E \in \mathbb{C}_p^\times / \langle q \rangle \simeq E(\mathbb{C}_p)$$

- $\mathbb{C}_p^\times / \langle q \rangle \simeq \mathbb{C}_p^\times / \langle q_E \rangle$ (Greenberg–Dasgupta, Longo–Rotger–Vigni)

Conjetura (racionalidad de puntos de Darmon)

$J_\tau \in E(\mathbb{C}_p)$ de hecho pertenece a $E(K^{\text{ab}})$

Calculando en homología y cohomología

- La clase de cohomología $\omega_E \in H^1(\Gamma, \Omega_{\mathcal{H}_p, \mathbb{Z}})$
 - ▶ $T_\ell: H^1(\Gamma, \Omega_{\mathcal{H}_p, \mathbb{Z}}) \longrightarrow H^1(\Gamma, \Omega_{\mathcal{H}_p, \mathbb{Z}})$ operadores de Hecke
 - ▶ ω_E es la “única” forma tal que

$$T_\ell \omega_E = a_\ell \omega_E$$

Calculando en homología y cohomología

- La clase de cohomología $\omega_E \in H^1(\Gamma, \Omega_{\mathcal{H}_p, \mathbb{Z}})$
 - ▶ $T_\ell: H^1(\Gamma, \Omega_{\mathcal{H}_p, \mathbb{Z}}) \longrightarrow H^1(\Gamma, \Omega_{\mathcal{H}_p, \mathbb{Z}})$ operadores de Hecke
 - ▶ ω_E es la “única” forma tal que

$$T_\ell \omega_E = a_\ell \omega_E$$

- La cadena $\Delta_\tau \in C_1(\Gamma, \text{Div}^0(\mathcal{H}_p))$
 - ▶ $D = 1, B = M_2(\mathbb{Q})$
 - ★ Fracciones contínuas si $M = 1$ (Darmon–Green)
 - ★ Versión efectiva del problema del subgrupo de congruencia si $M > 1$ (G.-Masdeu)
 - ▶ $D > 1, B$ álgebra de división
 - ★ Algoritmos de Voight para calcular generadores y relaciones en Γ

Calculando con diferenciales rígidas analíticas

- En el caso clásico $\omega \in \Omega_{\mathcal{H}}^1$: tiene serie de Fourier

Calculando con diferenciales rígidas analíticas

- En el caso clásico $\omega \in \Omega_{\mathcal{H}}^1$: tiene serie de Fourier

Realización concreta de las diferenciales p -adiacas

$$\{ \text{Medidas de } \mathbb{P}^1(\mathbb{Q}_p) \text{ con valores en } \mathbb{Z} \} \xrightarrow{\cong} \Omega_{\mathcal{H}_p, \mathbb{Z}}^1$$

Calculando con diferenciales rígidas analíticas

- En el caso clásico $\omega \in \Omega_{\mathcal{H}}^1$: tiene serie de Fourier

Realización concreta de las diferenciales p -adiacas

$$\{ \text{Medidas de } \mathbb{P}^1(\mathbb{Q}_p) \text{ con valores en } \mathbb{Z} \} \xrightarrow{\cong} \Omega_{\mathcal{H}_p, \mathbb{Z}}^1$$

- $f: \{\text{Bolas en } \mathbb{P}(\mathbb{Q}_p)\} \longrightarrow \mathbb{Z}$ tal que $f(B) = \sum_{i=0}^p f(B_i)$

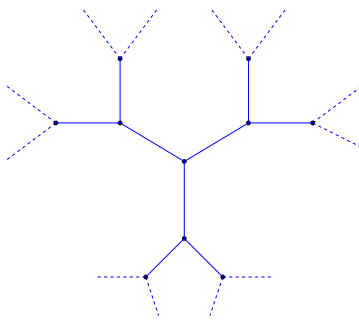
Calculando con diferenciales rígidas analíticas

- En el caso clásico $\omega \in \Omega_{\mathcal{H}}^1$: tiene serie de Fourier

Realización concreta de las diferenciales p -adiacas

$$\{\text{Medidas de } \mathbb{P}^1(\mathbb{Q}_p) \text{ con valores en } \mathbb{Z}\} \xrightarrow{\sim} \Omega_{\mathcal{H}_p, \mathbb{Z}}^1$$

- $f: \{\text{Bolas en } \mathbb{P}(\mathbb{Q}_p)\} \longrightarrow \mathbb{Z}$ tal que $f(B) = \sum_{i=0}^p f(B_i)$
- $\{\text{Bolas en } \mathbb{P}(\mathbb{Q}_p)\} \longleftrightarrow \text{árbol de Bruhat-Tits}$



Índex

- 1 Puntos racionales en curvas elípticas
- 2 Puntos de Heegner
- 3 Puntos de Darmon
- 4 Cálculos explícitos

Motivación

- Evidencia numérica para las conjeturas de Darmon–Greenberg
- A la práctica: método eficiente para calcular puntos en $E(K^{\text{ab}})$

Algoritmos y evidencia numérica

	$M = 1$	$M > 1$
$D = 1, B = M_2(\mathbb{Q})$	Darmon–Green (2002) Darmon–Pollack (2006)	G.-Masdeu (2012)
$D > 1, B \text{ alg. div}$		G.-Masdeu (2013)

Cálculos explícitos $p = 13$, $D = 1$, $M = 5$, prec = 13^{60}

$$E_{51}: y^2 + y = x^3 + x^2 + x - 1$$

d_K	h	P^+
101	1	$\left(-\frac{656788148124048}{108395925566683225} \sqrt{101} + \frac{108663526315570777}{108395925566683225}, \right.$ $\left. \frac{432742605985104670344096}{35687772118459783422252125} \sqrt{101} - \frac{71551860216079551941383354}{35687772118459783422252125} \right)$
149	1	$\left(-\frac{41662615293}{110013332450} \sqrt{149} + \frac{802189306199}{110013332450}, \right.$ $\left. \frac{39791672228037249}{25801976926160750} \sqrt{149} - \frac{635290450369692907}{25801976926160750} \right)$
152	1	$\left(-\frac{1915814571}{20670100441} \sqrt{38} + \frac{24731592007}{20670100441}, \right.$ $\left. \frac{577303899566856}{2971761010503011} \sqrt{38} - \frac{7167395643538198}{2971761010503011} \right)$
161	1	$\left(\frac{62146167667}{49710362300}, \frac{8395974419456303}{53153799096521000} \sqrt{161} - \frac{1}{2} \right)$
188	1	$\left(\frac{3178296211866}{1135825194001} \sqrt{47} + \frac{22525829850817}{1135825194001}, \right.$ $\left. \frac{21864116230891316004}{1210506836331759751} \sqrt{47} + \frac{148356498531472446055}{1210506836331759751} \right)$
d_K	h	$h_D(x)$
104	2	$x^2 + \left(-\frac{992302702743}{1960400420449} \sqrt{26} - \frac{57132410901980}{1960400420449} \right) x - \frac{4968445297101}{1960400420449} \sqrt{26} + \frac{61480175149213}{1960400420449}$
185	2	$x^2 + \left(-\frac{908505900}{7532677681} \sqrt{185} - \frac{54207252962}{7532677681} \right) x - \frac{787814100}{7532677681} \sqrt{185} + \frac{450056845581}{7532677681}$

Cálculos explícitos $p = 11$, $D = 10$, $M = 1$, prec = 11^{60}

$$E_{110} : \quad y^2 + xy + y = x^3 + x^2 + 10x - 45.$$

d_K	P
13	$2 \cdot 30 \cdot \left(\frac{1103}{81} - \frac{250}{81}\sqrt{13}, -\frac{52403}{729} + \frac{13750}{729}\sqrt{13} \right)$
173	$2 \cdot 30 \cdot \left(\frac{1532132}{9025}, -\frac{1541157}{18050} - \frac{289481483}{1714750}\sqrt{173} \right)$
237	$2 \cdot 30 \cdot \left(\frac{190966548837842073867}{4016648659658412649} - \frac{10722443619184119320}{4016648659658412649}\sqrt{237}, \right. \\ \left. - \frac{3505590193011437142853233857149}{8049997913829845411423756107} + \frac{235448460130564520991320372200}{8049997913829845411423756107}\sqrt{237} \right)$
277	$2 \cdot 30 \left(\frac{46317716623881}{12553387541776}, -\frac{58871104165657}{25106775083552} - \frac{20912769335239055243}{44477606117965542976}\sqrt{277} \right)$
293	$2 \cdot 30 \cdot \left(\frac{7088486530742}{2971834657801}, -\frac{10060321188543}{5943669315602} - \frac{591566427769149607}{10246297476835603402}\sqrt{293} \right)$
373	$2 \cdot 30 \cdot \left(\frac{298780258398}{62087183929}, -\frac{360867442327}{124174367858} - \frac{19368919551426449}{30940899762281434}\sqrt{373} \right)$

Algoritmos para puntos de Darmon

Xevi Guitart¹ Marc Masdeu²

¹Universitat Politècnica de Catalunya

²Columbia University

Quintas Jornadas de Teoría de Números